



Skolkovo Institute of Science and Technology

Специальность: 1.2.2

Математическое моделирование, численные методы и комплексы программ

Параметрические методы вычисления оптимальных
транспортных расстояний, отображений и барицентров

Соискатель: Коротин А.А.

Научный руководитель: д.ф.-м.н., доцент Бурнаев Е.В.

2022

Overview

Характеристика работы

Актуальность исследования

Постановка задач исследования

Публикации и результаты

Содержание работы

- Численный метод для моделирования Васерштейн-2 отображений (гл. 2)
- Численный метод для Васерштейн-2 барицентра (гл. 3)
- Численный метод для моделирования Васерштейн-2 градиентного потока (гл. 4)
- Методология построения эталонных пар для Васерштейн-2 (гл. 5)

Заключение

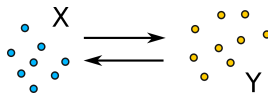
Характеристика работы

Сценарии моделирования данных в машинном обучении

Сценарий 1

Отображение

2 выборки



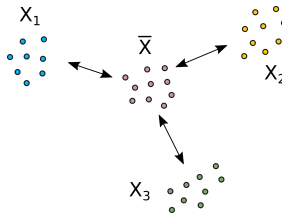
Примеры приложений:

синтез искусственных данных,
доменная адаптация,
сверхразрешение и перенос
стиля м/у изображениями

Сценарий 2

Усреднение

Набор выборок



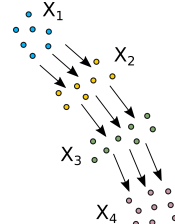
Примеры приложений:

смешивание апостериорных
распределений, агрегация
вероятностных прогнозов

Сценарий 3

Моделирование динамики

Послед. выборок

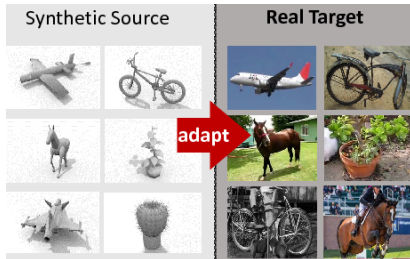


Примеры приложений:

моделирование эволюционных
процессов в машинном
обучении, физике, экономике

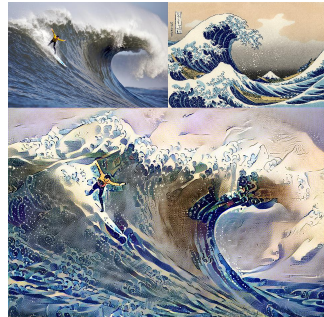
Пример сценария 1, требующего сопоставления выборок¹

Доменная адаптация



X, Y - наборы данных
исходного/целевого доменов

Передача цвета м/у изображениями

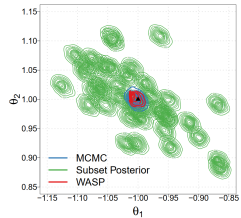


X, Y - наборы RGB пикселей

¹ Источники изображений: ai.bu.edu/syn2real/, github.com/VinceMarron/style_transfer

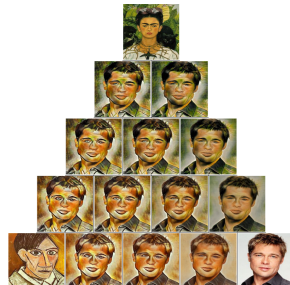
Пример сценария 2, требующего усреднения выборок²³

Агрегация выборочных апостериорных распределений



$$p(\theta|D) \approx \text{Barycenter} [p(\theta|D_1), \dots, p(\theta|D_N)]$$

Смешивание стилей изображений



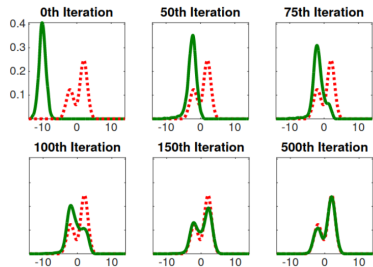
²³Sanvesh Srivastava, Cheng Li и David B Dunson (2018). “Scalable Bayes via barycenter in Wasserstein space”. B: The Journal of Machine Learning Research 19.1, c. 312—346.

³Youssef Mroueh (2020). “Wasserstein Style Transfer”. B: International Conference on Artificial Intelligence and Statistics. PMLR, c. 842—852.

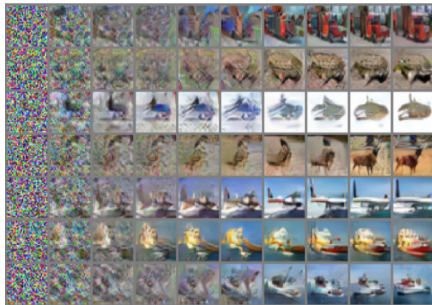
Пример сценария 3, требующего моделирования динамики⁴⁵

Моделирование выборки из апостериорного распределения

$$p(\theta|D) \propto p(D|\theta)p(\theta)$$



Синтез искусственных выборок данных



⁴⁵Qiang Liu и Dilin Wang (2016). “Stein variational gradient descent: A general purpose bayesian inference algorithm”. B: Advances in neural information processing systems 29.

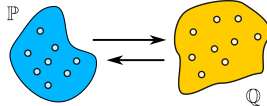
⁵Jiaojiao Fan, Amirhossein Taghvaei и Yongxin Chen (2022). Variational Wasserstein gradient flow. URL: <https://openreview.net/forum?id=WZR7ckBkzPY>.

Сценарии моделирования данных в машинном обучении

Предположение: наблюдаемые данные являются
случайными выборками из соответствующих вероятностных распределений.

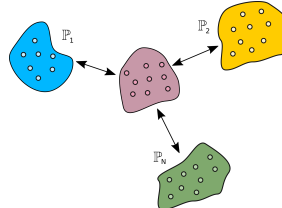
Сценарий 1

Отображение
2 выборки
 $X \sim \mathbb{P}, Y \sim \mathbb{Q}$



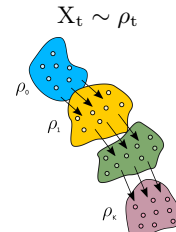
Сценарий 2

Усреднение
Набор выборок
 $X_n \sim \mathbb{P}_n$



Сценарий 3

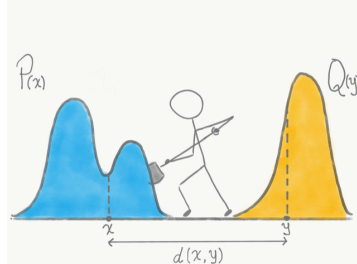
Моделирование динамики
Послед. выборок
 $X_t \sim \rho_t$



Диссертационная работа⁶

В данной диссертационной работе

развивается арсенал математических методов моделирования для решения ранее упомянутых задач на основе подходов теории оптимального транспорта.



Задача оптимальной транспортировки
массы Монже-Канторовича.



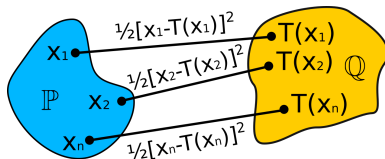
Леонид Витальевич Канторович,
советский математик и экономист.

⁶Рис.: microsoft.com/en-us/research/blog/measuring-dataset-similarity-using-optimal-transport/

Задача 1: оптимальный транспорт с квадратичной ценой⁷ (по Монже)

Квадрат расстояния Васерштейн-2 между $\mathbb{P}, \mathbb{Q} \in \mathcal{P}_2(\mathbb{R}^D)$ определяется как

$$W_2^2(\mathbb{P}, \mathbb{Q}) \stackrel{\text{def}}{=} \min_{\mathbf{T} \# \mathbb{P} = \mathbb{Q}} \int_{\mathbb{R}^D} \frac{\|\mathbf{x} - \mathbf{T}(\mathbf{x})\|^2}{2} d\mathbb{P}(\mathbf{x}).$$



Функция $\mathbf{T}^* : \mathbb{R}^D \rightarrow \mathbb{R}^D$, доставляющая минимум, называется ОТ отображением.

В случае $\mathbb{P} \in \mathcal{P}_{2,\text{ac}}(\mathbb{R}^D)$ \mathbf{T}^* существует, единственно и является градиентном $\nabla \psi^*$ некоторой выпуклой функции $\psi^* : \mathbb{R}^D \rightarrow \mathbb{R}$ (Теорема Бренье).

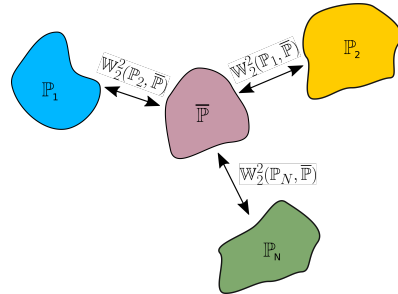
Задача 1: Вычисление оптимального отображения и расстояния Васерштейна-2.

⁷Cédric Villani (2008). Optimal transport: old and new. Т. 338. Springer Science & Business Media.

Задача 2: Барицентры в Васерштейн-2 пространстве распределений⁸

Барицентр (центр масс) $\bar{\mathbb{P}}$ распределений $\mathbb{P}_1, \mathbb{P}_2, \dots, \mathbb{P}_N \in \mathcal{P}_2(\mathbb{R}^D)$ с весами $\alpha_1, \dots, \alpha_N \geq 0$ при $\sum_{n=1}^N \alpha_n = 1$ определяется как взвешенное среднее по Фреше в пр-ве $(\mathcal{P}_2(\mathbb{R}^D), \mathbb{W}_2)$:

$$\bar{\mathbb{P}} = \arg \min_{\mathbb{P} \in \mathcal{P}_2(\mathbb{R}^D)} \sum_{n=1}^N \alpha_n \mathbb{W}_2^2(\mathbb{P}, \mathbb{P}_n).$$



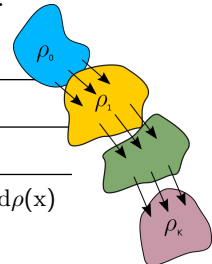
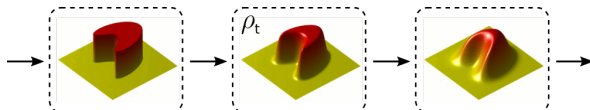
Задача 2: Вычисление Васерштейн-2 барицентра семейства распределений.

⁸Martial Aguech и Guillaume Carlier (2011). “Barycenters in the Wasserstein space”. B: SIAM Journal on Mathematical Analysis 43.2, с. 904—924.

Задача 3: Васерштейн-2 градиентные потоки⁹¹⁰

Многие ДУЧП являются $\mathcal{W}_2 = \sqrt{2}\mathbb{W}_2$ град. потоками функционалов:

Класс	Ур. $\frac{\partial \rho_t}{\partial t} =$	Функционал $\mathcal{F}(\rho) =$
Ур. теплопроводн.	$\Delta\rho$	$\int_{\mathbb{R}^D} \log \frac{d\rho(x)}{dx} d\rho(x)$
Ур. переноса	$\operatorname{div}(\rho \nabla \Phi)$	$\int_{\mathbb{R}^D} \Phi(x) d\rho(x)$
Ур. Фоккера-Планка	$\operatorname{div}(\rho \nabla \Phi) + \frac{1}{\beta} \Delta\rho$	$\int_{\mathbb{R}^D} \Phi(x) d\rho(x) + \frac{1}{\beta} \int_{\mathbb{R}^D} \log \frac{d\rho(x)}{dx} d\rho(x)$



⁹David Alvarez-Melis, Yair Schiff и Youssef Mroueh (2022). “Optimizing Functionals on the Space of Probabilities with Input Convex Neural Networks”. B: Transactions on Machine Learning Research. URL: <https://openreview.net/forum?id=dpOYN7o8Jm>.

¹⁰Image source: https://en.wikipedia.org/wiki/Heat_equation

Задача 3: Васерштейн-2 градиентные потоки¹¹

Рассмотрим функционал $\mathcal{F} : \mathcal{P}_2(\mathbb{R}^D) \rightarrow \mathbb{R}$ на пр-ве вероятностных распределений.

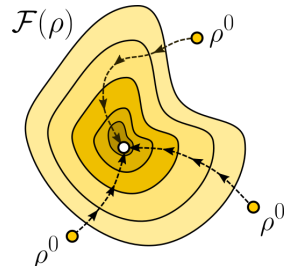
Через $\mathcal{F}'(\rho)$ обозначим первую вариацию функционала \mathcal{F} в точке ρ , т.е. функцию $f_\rho : \mathbb{R}^D \rightarrow \mathbb{R}$, для которой

$$\frac{d}{d\epsilon} \mathcal{F}(\rho + \epsilon\chi)|_{\epsilon=0} = \int_{\mathbb{R}^D} f_\rho(x) d\chi(x)$$

для любой меры χ со знаком на \mathbb{R}^D такой, что $\int 1 d\chi(x) = 0$, и существует $\epsilon_0 > 0$, при котором $\rho + \epsilon_0 \chi \in \mathcal{P}_2(\mathbb{R}^D)$.

Васерштейн-2 градиентный поток – непрерывная последовательность $\{\rho_t\}_{t \in \mathbb{R}_+}$ в $\mathcal{P}_2(\mathbb{R}^D)$, удовлетворяющая

$$\frac{\partial \rho_t}{\partial t} - \operatorname{div}\left(\rho_t \underbrace{\nabla_x \mathcal{F}'(\rho_t)}_{=\partial_{W_2} \mathcal{F}(\rho_t)}\right) = 0 \quad \text{s.t. } \rho_0 = \rho^0.$$



¹¹Filippo Santambrogio (2017). “{Euclidean, metric, and Wasserstein} gradient flows: an overview”. B: Bulletin of Mathematical Sciences 7.1, c. 87–154.

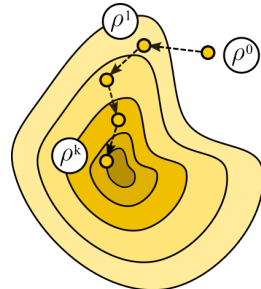
Вычисление Васерштейн-2 градиентного потока¹²

Жордан, Кинделехрер и Отто (JKO) предложили итеративно вычислять дискретную последовательность ρ^1, ρ^2, \dots :

$$\rho^{k+1} \leftarrow \arg \min_{\rho \in \mathcal{P}_2(\mathbb{R}^D)} [\mathcal{F}(\rho) + \frac{1}{2\tau} \mathcal{W}_2^2(\rho^k, \rho)].$$

При $\tau \rightarrow 0$ выполняется $\rho^k \approx \rho_{\tau \cdot k}$, т.е. дискретизованный поток ρ^k сходится к истинному потоку ρ_t .

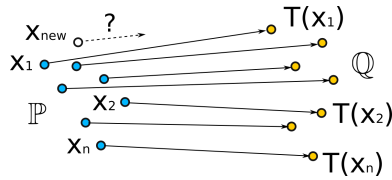
Практическая имплементация схемы JKO нетривиальна, т.к. требует вычисления слагаемого \mathcal{W}_2 .



Задача 3: Вычисление Васерштейн-2 градиентного потока функционала.

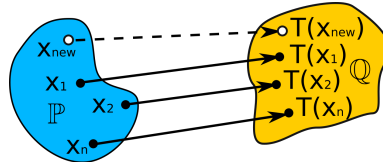
¹²Richard Jordan, David Kinderlehrer и Felix Otto (1998). “The variational formulation of the Fokker–Planck equation”. B: SIAM journal on mathematical analysis 29.1, c. 1–17.

Дискретные



- + выпуклая оптимизация;
- + сильные теор. гарантии;
- слабая масштабируемость;
- нет оценок вне выборки;

Параметрические (непрерывные)



- ± нейронные сети;
- ± ограниченные теор. гарантии;
- + масштабируемость;
- + оценки вне выборки;

¹³Gabriel Peyré, Marco Cuturi и др. (2019). “Computational optimal transport: With applications to data science”. B: Foundations and Trends® in Machine Learning 11.5-6, с. 355—607.

Параметрические (непрерывные) двойственные методы: недостатки

Двойственная постановка Канторовича¹⁴ ($f \in \mathcal{L}^1(\mathbb{P})$, $g \in \mathcal{L}^1(\mathbb{Q})$)

$$W_2^2(\mathbb{P}, \mathbb{Q}) = \max_{f, g} \left[\int_{\mathbb{R}^D} f(x)d\mathbb{P}(x) + \int_{\mathbb{R}^D} g(y)d\mathbb{Q}(y) \right] \quad \text{s.t. } f(x) + g(y) \leq \frac{\|x - y\|^2}{2}.$$

Большинство непрерывных методов решают двойственную задачу, т.е., находят f^* , и восстанавливают решение прямой задачи, используя $T^*(x) = x - \nabla f^*(x)$.

1. Регуляризованный ОТ: наложение мягкого штрафа на f, g за невыполнение условия $f \oplus g \leq \frac{1}{2}\|\cdot\|^2$. Данные методы находят смешенное решение задачи;
2. Максиминный ОТ: оптимизация потенциалов f, g с использованием с-трансформации. Данные методы склонны к численной нестабильности.

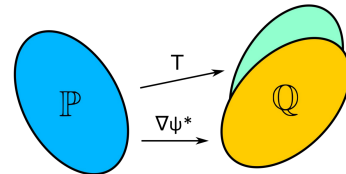
Таким образом, существует необходимость разработки параметрических численных методов, позволяющих находить ОТ без смешения и максиминной оптимизации.

¹⁴Cédric Villani (2008). Optimal transport: old and new. Т. 338. Springer Science & Business Media.

Задача 4: Построение эталонных пар для Васерштейн-2 ОТ

Вопрос: как оценить качество восстановленного отображения $T : \mathbb{R}^D \rightarrow \mathbb{R}^D$ в задаче ОТ?

Проблема: существует ограниченное число пар непрерывных распределений \mathbb{P}, \mathbb{Q} , для которых аналитически известно истинное оптимальное транспортное отображение $\nabla\psi^*$.



Таким образом, требуется разработка количественной методики
тестирования непрерывных методов вычисления ОТ.

Задача 4: Построение эталонных пар распределений для Васерштейн-2 ОТ.

Положения, выносимые на защиту (1 положение = 1 глава работы)

1. Предложен неминимаксный алгоритм для вычисления Васерштейн-2 оптимального отображения и расстояния между непрерывными распределениями, базирующийся на нейронных сетях с выпуклой по входу архитектурой и применении разработанной циклической регуляризации в двойственной задаче. Получены теоретические оценки, связывающие ошибку минимизации разработанного целевого функционала с ошибкой решения целевой задачи нахождения отображения. [прим.: задача 1]
2. Предложен неминимаксный алгоритм для вычисления Васерштейн-2 барицентра семейства непрерывных распределений, базирующийся на нейронных сетях с выпуклой по входу архитектурой и использовании разработанных циклической регуляризации и регуляризации на конгруэнтность двойственных переменных задачи. Получены теоретические оценки, связывающие ошибку минимизации разработанного целевого функционала с ошибкой решения целевой задачи нахождения барицентра. [прим.: задача 2]
3. Предложен численный метод имплементации схемыJKO для моделирования Васерштейн-2 градиентных потоков функционалов на пространствах многомерных вероятностных распределений с помощью использования нейронных сетей выпуклых по входу. [прим.: задача 3]
4. Разработана методология на основе нейронных сетей с выпуклой по входу архитектурой для синтеза пар непрерывных распределений с аналитически известным ОТ отображением между ними. Данная разработка позволяет заполнить имеющийся пробел в тестировании непрерывных методов решения задачи ОТ и исследования математических моделей, на которых они основаны. [прим.: задача 4]

Публикации на основе результатов диссертационной работы

Результаты диссертационной работы опубликованы в 5 научных статьях в трудах 3 конференций [ранг **Core A***], из них 2 работы [**A1, A2**] – индексируемые **Scopus**.

- A1** (**Core A***, **Scopus**) Korotin, A., Li, L., Genevay, A., Solomon, J. M., Filippov, A., & Burnaev, E. (2021). Do neural optimal transport solvers work? a continuous wasserstein-2 benchmark. *Advances in Neural Information Processing Systems*, 34, 14593-14605.
- A2** (**Core A***, **Scopus**) Mokrov, P., Korotin, A., Li, L., Genevay, A., Solomon, J. M., & Burnaev, E. (2021). Large-scale wasserstein gradient flows. *Advances in Neural Information Processing Systems*, 34, 15243-15256.
- A3** (**Core A***) Korotin, A., Egiazarian, V., Asadulaev, A., Safin, A., & Burnaev, E. (2020, September). Wasserstein-2 Generative Networks. In *International Conference on Learning Representations*.
- A4** (**Core A***) Korotin, A., Li, L., Solomon, J., & Burnaev, E. (2020, September). Continuous Wasserstein-2 Barycenter Estimation without Minimax Optimization. In *International Conference on Learning Representations*.
- A5** (**Core A***) Rout, L., Korotin, A., & Burnaev, E. (2021, September). Generative Modeling with Optimal Transport Maps. In *International Conference on Learning Representations*.

Работы [**A1-A5**] суммарно имеют 100+ цитирований согласно научной базе **Google Scholar**.

Презентации результатов диссертации

Презентации на международных конференциях

- International Conference on Learning Representations 2021
ICLR 2021, Core A*, Онлайн
05.2021 [x2] Доклад: Wasserstein-2 Generative Networks
Доклад: Continuous Wasserstein-2 Barycenter Estimation without Minimax Optimization
- Neural Information Processing Systems 2021
NeurIPS 2021, Core A*, Онлайн
12.2021 [x2] Доклад: Large-Scale Wasserstein Gradient Flows
Доклад: Do Neural Optimal Transport Solvers Work? A Continuous Wasserstein-2 Benchmark
- International Conference on Learning Representations 2021
ICLR 2022, Core A*, Онлайн
05.2022 Доклад: Generative Modeling with Optimal Transport Maps



Программный код для разработанных моделей публично доступен по ссылке
github.com/iamalexkorotin

Презентации результатов диссертации

Презентации на научных семинарах и воркшопах

10.2019 Huawei Machine Learning Workshop (Sochi, Russia)
 Доклад: Generative Models [Best presentation award]



06.2020 Seminar of the Geometric Data Processing Group (Онлайн)
 Доклад: Wasserstein-2 Generative Networks



02.2020 Math of Machine Learning School 2020 (Онлайн)
 Доклад: Wasserstein-2 Generative Networks



09.2020 SMILES Machine Learning Summer School 2020 (Онлайн)
 Доклад: Wasserstein-2 Generative Networks



12.2020 Research Seminar on Bayesian Methods in ML (Онлайн)
 Доклад: Wasserstein-2 Generative Networks



Награды, полученные за научные результаты



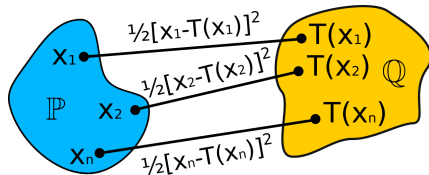
Научная премия Яндекса имени Ильи Сегаловича
для студентов, проводящих передовые исследования в области машинного обучения.

Лауреат премии в 2019 и 2021 годах

Содержание работы

Задача 1

Вычисление Васерштейн-2 оптимального отображения.



Результат главы

Предложен новый одноэтапный нейросетевой метод для вычисления Васерштейн-2 оптимальных транспортных отображений между непрерывными распределениями без внесения смещения или минимаксной оптимизации.

Предлагаемый неминимаксный функционал для оптимизации

Минимаксный подход (существующее решение)¹⁵

$$\min_{\psi \in \text{Convex}} \left[\int \psi(x) d\mathbb{P}(x) + \int \bar{\psi}(y) d\mathbb{Q}(y) \right] =$$
$$\min_{\psi \in \text{Conv}} \max_{\phi \in \text{Conv}} \underbrace{\left[\int \psi(x) d\mathbb{P}(x) + \int [\langle \nabla \phi(y), y \rangle - \psi(\nabla \phi(y))] d\mathbb{Q}(y) \right]}_{\text{Corr}(\mathbb{P}, \mathbb{Q} | \psi, \phi)}$$

Предлагаемый неминимаксный подход: циклический регуляризатор ($\lambda > 0$)

$$\min_{\psi, \phi \in \text{Conv}} \text{Corr}(\mathbb{P}, \mathbb{Q} | \psi, \phi; \lambda) \stackrel{\text{def}}{=} \min_{\psi, \phi \in \text{Conv}} \left[\text{Corr}(\mathbb{P}, \mathbb{Q} | \psi, \phi) + \underbrace{\int_y \frac{\lambda}{2} \|\nabla \psi(\nabla \phi(y)) - y\|^2 d\mathbb{Q}(y)}_{\text{Цикл. рег. } \mathcal{R}_2^{\mathbb{Q}}(\psi, \phi)} \right].$$

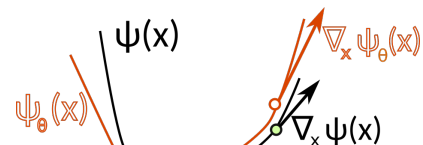
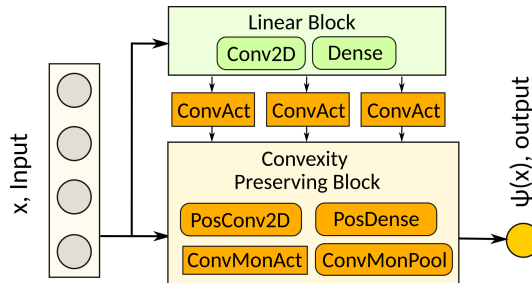
На практике предлагается аппроксимировать $\{\psi, \phi\}$ выпуклыми по входу нейросетями и тренировать их параметры с помощью стохастического град. спуска на выборках из \mathbb{P}, \mathbb{Q} .

¹⁵Ashok Makkuva и др. (2020). “Optimal transport mapping via input convex neural networks”. В: International Conference on Machine Learning. PMLR, с. 6672–6681.

Выпуклые по входу нейронные сети (ICNN)

Выпуклые функции можно аппроксимировать нейросетями $\psi(x) : \mathbb{R}^D \rightarrow \mathbb{R}$.

- $\psi_\theta : \mathbb{R}^D \rightarrow \mathbb{R}$ – глубокая выпуклая по входу нейросеть¹⁶ (ICNN);
- $T_\theta = \nabla_x \psi_\theta : \mathbb{R}^D \rightarrow \mathbb{R}^D$ - транспортное отображение.



¹⁶Brandon Amos, Lei Xu и J Zico Kolter (2017). “Input convex neural networks”. In: Proceedings of the 34th International Conference on Machine Learning-Volume 70. JMLR.org, c. 146–155.

Теоретическое обоснование

Теорема 1. Связь решений предложенной двойственной и прямой задач

Пусть $\mathbb{P}, \mathbb{Q} \in \mathcal{P}_{2,\text{ac}}(\mathbb{R}^D)$. Пусть $\psi^* : \mathbb{R}^D \rightarrow \mathbb{R}$ – оптимальный выпуклый потенциал:

$$\psi^* = \arg \min_{\psi \in \text{Convex}} \text{Corr}(\mathbb{P}, \mathbb{Q} | \psi) = \arg \min_{\psi \in \text{Convex}} \left[\int_{\mathbb{R}^D} \psi(x) d\mathbb{P}(x) + \int_{\mathbb{R}^D} \bar{\psi}(y) d\mathbb{Q}(y) \right].$$

Пусть дифф. выпуклые функции $\hat{\psi}, \hat{\phi} : \mathbb{R}^D \rightarrow \mathbb{R}$ таковы, что, при некотором $\epsilon \in \mathbb{R}$,

$$\text{Corr}(\mathbb{P}, \mathbb{Q} | \hat{\psi}, \hat{\phi}; \lambda) \leq \left[\int_{\mathbb{R}^D} \psi^*(x) d\mathbb{P}(x) + \int_{\mathbb{R}^D} \bar{\psi}^*(y) d\mathbb{Q}(y) \right] + \epsilon = \text{Corr}(\mathbb{P}, \mathbb{Q} | \psi^*) + \epsilon. \quad (1)$$

Предположим, что $\hat{\psi}$ является β -сильно выпуклой ($\beta > \frac{1}{\lambda} > 0$) и \mathcal{B} -гладкой ($\mathcal{B} \geq \beta$). Предположим также, что $\hat{\phi}$ имеет биективный градиент $\nabla \hat{\phi}$. Тогда выполнено:

1. Оценка сверху для корреляции

$$\text{Corr}(\mathbb{P}, \mathbb{Q} | \hat{\psi}, \hat{\phi}; \lambda) \geq \text{Corr}(\mathbb{P}, \mathbb{Q} | \psi^*) \quad (\text{т.е. } \epsilon \geq 0);$$

2. Прямое и обратное транспортные свойства

$$\frac{1}{2} \int_{\mathbb{R}^D} \|\nabla \hat{\psi}(x) - \nabla \psi^*(x)\|^2 d\mathbb{P}(x) \leq \frac{(\mathcal{B})^2 \cdot \epsilon}{\lambda \beta - 1} \cdot \left[\frac{1}{\sqrt{\beta}} + \sqrt{\lambda} \right]^2 = O(\epsilon);$$

$$\frac{1}{2} \int_{\mathbb{R}^D} \|\nabla \hat{\phi}(y) - \nabla \bar{\psi}^*(y)\|^2 d\mathbb{Q}(y) \leq \frac{\epsilon}{\beta - \frac{1}{\lambda}} = O(\epsilon).$$

Теоретическое обоснование

Теорема 2. Свойство решений в ограниченном классе функций

Пусть $\mathbb{P}, \mathbb{Q} \in \mathcal{P}_{2,ac}(\mathbb{R}^D)$. Пусть $\psi^* : \mathbb{R}^D \rightarrow \mathbb{R}$ – оптимальный выпуклый потенциал. Далее, пусть Ψ, Φ – классы дифференцируемых выпуклых функций $\mathbb{R}^D \rightarrow \mathbb{R}$ соответственно. Предположим, что

1. $\exists \psi_1 \in \Psi$ с ϵ_1 -близким градиентом прямого отображения $\nabla \psi^*$ в смысле $\mathcal{L}^2(\mathbb{R}^D \rightarrow \mathbb{R}^D, \mathbb{P})$:

$$\|\nabla \psi_1 - \nabla \psi^*\|_{\mathbb{P}}^2 \stackrel{\text{def}}{=} \int_{\mathbb{R}^D} \|\nabla \psi_1(y) - \nabla \psi^*(y)\|^2 d\mathbb{P}(y) \leq \epsilon_1,$$

где ψ_1 является \mathcal{B} -гладкой;

2. $\exists \phi_2 \in \Phi$ с ϵ_2 -близким градиентом к обратному отображению $\nabla \overline{\psi^*}$ в смысле $\mathcal{L}^2(\mathbb{R}^D \rightarrow \mathbb{R}^D, \mathbb{Q})$:

$$\|\nabla \phi_2 - \nabla \overline{\psi^*}\|_{\mathbb{Q}}^2 \stackrel{\text{def}}{=} \int_{\mathbb{R}^D} \|\nabla \phi_2(y) - \nabla \overline{\psi^*}(y)\|^2 d\mathbb{Q}(y) \leq \epsilon_2.$$

Пусть $(\hat{\psi}, \hat{\phi})$ – минимизаторы рег. корреляций в $\Psi \times \Phi$: $(\hat{\psi}, \hat{\phi}) = \arg \min_{\psi \in \Psi, \phi \in \Phi} \text{Corr}(\mathbb{P}, \mathbb{Q} | \psi, \phi; \lambda)$.

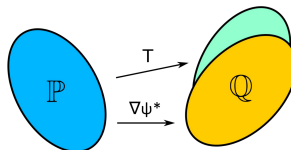
Тогда регуляризованные корреляции для $(\hat{\psi}, \hat{\phi})$ удовлетворяют следующему неравенству:

$$\text{Corr}(\mathbb{P}, \mathbb{Q} | \hat{\psi}, \hat{\phi}; \lambda) \leq \text{Corr}(\mathbb{P}, \mathbb{Q}) + \left[\frac{\lambda}{2} (\mathcal{B} \sqrt{\epsilon_2} + \sqrt{\epsilon_1})^2 + (\mathcal{B} \sqrt{\epsilon_2} + \sqrt{\epsilon_1}) \cdot (\sqrt{\epsilon_2}) + \frac{\mathcal{B}}{2} \epsilon_2 \right],$$

т.е. регуляризованные корреляции не превышают истинных плюс $O(\epsilon_1 + \epsilon_2)$.

Эксперименты: ОТ между гауссианами (количественные результаты)

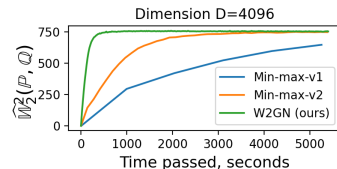
Гауссовский случай: $\mathbb{P}, \mathbb{Q} = \mathcal{N}(\mu_{\mathbb{P}}, \Sigma_{\mathbb{P}}), \mathcal{N}(\mu_{\mathbb{Q}}, \Sigma_{\mathbb{Q}})$



Metric:

$$\mathcal{L}^2\text{-UVP}(\hat{T}) = 100 \cdot \frac{\|\hat{T} - \nabla\psi^*\|_{\mathbb{P}}^2}{\text{Var}(\mathbb{Q})}\%$$

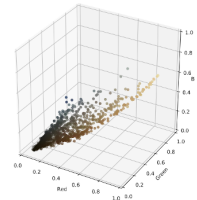
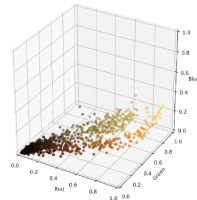
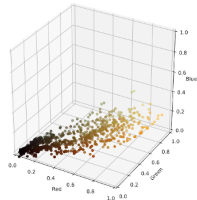
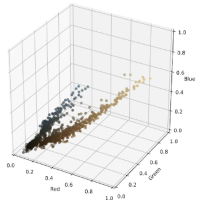
Размерность	2	4	8	16	32	64	128	256	512	1024	2048	4096
LSOT	< 1	3.7	7.5	14.3	23	34.7	46.9			> 50		
MM-1	< 1	< 1	< 1	< 1	< 1	1.2	1.4	1.3	1.5	1.6	1.8	2.7
MM-2	< 1	< 1	< 1	< 1	< 1	< 1	1	1.1	1.2	1.3	1.5	2.1
W2GN (ours)	< 1	< 1	< 1	< 1	< 1	< 1	1	1.1	1.3	1.3	1.8	1.5



Согласно экспериментальным результатам, предложенный метод работает лучше/сравнимо существующих методов, но эмпирически быстрее сходится.

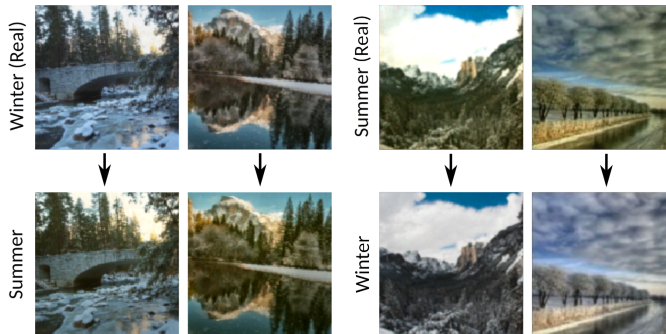
Передача цвета: качественные результаты

Входные изображения → выходные изображения



Изображения 128×128

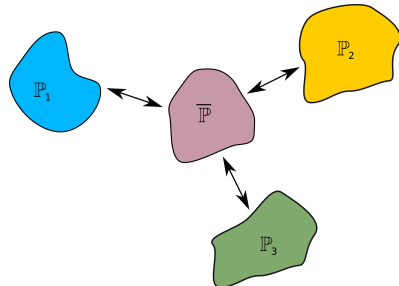
Набор изображений Winter2SummerYosemite¹⁷



¹⁷Jun-Yan Zhu и др. (2017). “Unpaired image-to-image translation using cycle-consistent adversarial networks”. B: Proceedings of the IEEE international conference on computer vision, с. 2223—2232.

Задача 2

Вычисление Васерштейн-2 барицентра.



Результат главы

Предложен нейросетевой метод вычисления барицентров Васерштейна-2 между непрерывными распределениями, основанный на выпуклых по входу нейросетях сетях и неминимаксной оптимизации без смещения.

Прямая и двойственная задачи Васерштейн-2 барицентра¹⁸

Прямая постановка:

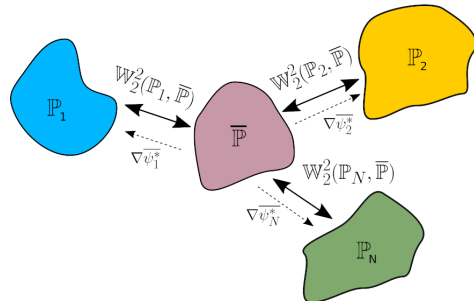
$$\bar{\mathbb{P}} = \arg \min_{\mathbb{P} \in \mathcal{P}_2(\mathbb{R}^D)} \underbrace{\sum_{n=1}^N \alpha_n W_2^2(\bar{\mathbb{P}}, \mathbb{P}_n)}_{\mathcal{B}(\bar{\mathbb{P}})}.$$

Двойственная постановка:

$$\mathcal{B}(\bar{\mathbb{P}}) = \text{Const} - \min_{\{\psi_n\} \text{ congr.}} \underbrace{\sum_{n=1}^N \alpha_n \int_{\mathbb{R}^D} \psi_n(y) d\mathbb{P}_n(y)}_{\text{MultiCorr}(\{\alpha_n, \mathbb{P}_n\} | \{\psi_n\})},$$

где выпуклые ψ_n согласованы (конгруэнтны):

$$\forall x \in \mathbb{R}^D : \quad \sum_{n=1}^N \alpha_n \bar{\psi}_n(x) = \frac{\|x\|^2}{2}.$$



Прямая-двойственная связь:

$$\nabla \psi_n^* \sharp \mathbb{P}_n = \bar{\mathbb{P}}$$

позволяет восстановить $\bar{\mathbb{P}}$
из двойственных потенциалов ψ_n^* .

¹⁸Martial Aguech и Guillaume Carlier (2011). “Barycenters in the Wasserstein space”. В: SIAM Journal on Mathematical Analysis 43.2, с. 904—924.

Предложенный неминимаксный функционал оптимизации

Рассмотрим оптимизацию ($\lambda > 0, \tau \geq 1$) по $2N$ выпуклым функциям $\{\psi_n, \phi_n\}$:

$$\min_{\{\psi_n, \phi_n\}} \underbrace{\sum_{n=1}^N \left[\alpha_n \int_{\mathbb{R}^D} [\langle x, \nabla \psi_n(x) \rangle - \phi_n(\nabla \psi_n(x))] d\mathbb{P}_n(x) \right]}_{\text{Аппроксимация множественных корреляций}} + \underbrace{\tau \cdot \mathcal{R}_1^{\hat{\mathbb{P}}}(\{\phi_n\})}_{\text{Рег. на согл.}} + \underbrace{\lambda \sum_{n=1}^N \alpha_n \mathcal{R}_2^{\mathbb{P}_n}(\psi_n, \phi_n)}_{\text{Цикл. рег.}}.$$

Здесь $\mathcal{R}_2^{\mathbb{P}_n}(\psi_n, \phi_n)$ – циклические регуляризаторы, а $\mathcal{R}_1^{\hat{\mathbb{P}}}(\{\phi_n\})$ – новый регуляризатор на согласованность (с вспомогательным распределением $\hat{\mathbb{P}}$):

$$\mathcal{R}_1^{\hat{\mathbb{P}}}(\{\phi_n\}) = \int_{\mathbb{R}^D} \left[\sum_{n=1}^N \alpha_n \phi_n(y) - \frac{\|y\|^2}{2} \right]_+ d\hat{\mathbb{P}}.$$

На практике предлагается аппроксимировать функции $\{\psi_n, \phi_n\}$ выпуклыми по входу нейронными сетями и тренировать их параметры с помощью стохастического градиентного спуска, используя случайные выборки из $\mathbb{P}_n, \hat{\mathbb{P}}$.

Предложенное теоретическое обоснование

Теорема 3. Связь решений двойственной и прямой задач

Пусть $\bar{\mathbb{P}} \in \mathcal{P}_{2,\text{ac}}(\mathbb{R}^D)$ – барицентр для $\mathbb{P}_1, \dots, \mathbb{P}_N \in \mathcal{P}_{2,\text{ac}}(\mathbb{R}^D)$ с весами $\alpha_1, \dots, \alpha_N$ и пусть $\{\psi_n^*\}$ – оптимальные конгруэнтные потенциалы для задачи о барицентре.

Предположим, что $\tau, \hat{\mathbb{P}}$ таковы, что $\tau \geq 1$ и $\tau \cdot \hat{\mathbb{P}} \geq \bar{\mathbb{P}}$. Пусть нам также даны выпуклые потенциалы $\{\hat{\psi}_n\}$ и β -сильно выпуклые и \mathcal{B} -гладкие выпуклые потенциалы $\{\hat{\phi}_n\}$ с $0 < \beta \leq \mathcal{B} < \infty$ и $\lambda > \frac{\mathcal{B}}{2\beta^2}$. Положим

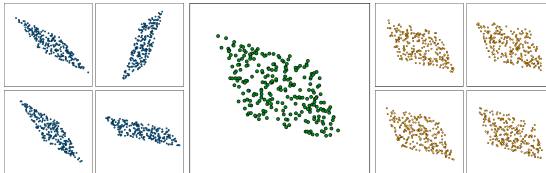
$$\epsilon = \text{MultiCorr}(\{\alpha_n, \mathbb{P}_n\} \mid \{\hat{\psi}_n\}, \{\hat{\phi}_n\}; \tau, \hat{\mathbb{P}}, \lambda) - \text{MultiCorr}(\{\alpha_n, \mathbb{P}_n\} \mid \{\psi_n^*\}).$$

Тогда имеем $\epsilon \geq 0$ и при всех $n \in \{1, \dots, N\}$

$$\int_{\mathbb{R}^D} \|\nabla \hat{\psi}_n(y) - \nabla \psi_n^*(y)\|^2 d\mathbb{P}_n(y) \leq \frac{2\epsilon}{\alpha_n} \cdot \left(\sqrt{\frac{1}{\beta}} + \sqrt{\frac{1}{\lambda\beta^2 - \frac{\mathcal{B}}{2}}} \right)^2 = O(\epsilon), \quad (2)$$

что, в частности, означает $\mathbb{W}_2^2(\nabla \hat{\psi}_n \sharp \mathbb{P}_n, \bar{\mathbb{P}})$.

Количественное сравнение в линейно-разбросанном случае¹⁹



Метрика	Метод	D=2	4	8	16	32	64	128	256
BW_2^2 -UVP, %	[FCWB], Cuturi и Doucet 2014	0.64	0.77	1.22	3.75	8.92	14.3	18.46	21.64
	[SCW ₂ B], Fan, Taghvaei и Chen 2021	0.12	0.10	0.19	0.29	0.46	0.6	1.38	2.9
L_2 -UVP, % (potentials)	[CRWB], L. Li и др. 2020	0.17	0.12	0.2	0.31	0.47	0.62	1.21	1.52
	[CW ₂ B], <u>ours</u>	0.17	0.08	0.06	0.1	0.2	0.25	0.42	0.82

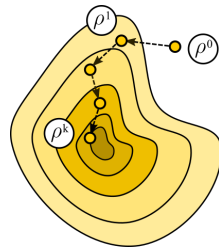
Таблица 1: Сравнение метрики UVP в линейно-разбросанном случае (cube uniform), N = 4.

Согласно экспериментальным результатам, предложенный метод
превосходит по качеству существующие методы.

¹⁹Pedro C Álvarez-Esteban и др. (2016). “A fixed-point approach to barycenters in Wasserstein space”. B: Journal of Mathematical Analysis and Applications 441.2, с. 744—762.

Задача 3

Вычисление Васерштейн-2 градиентного потока.



Результат главы

Предложен численный метод имплементации схемы JKO для моделирования Васерштейн-2 градиентных потоков функционалов на пространствах многомерных вероятностных распределений с помощью использования нейронных сетей.

Предлагаемый алгоритм вычисления Васерштейн-2 градиентного потока

Напомним шаг JKO схемы:

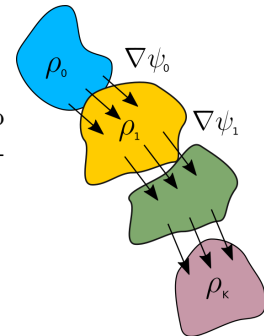
$$\rho^{k+1} \leftarrow \arg \min_{\rho \in \mathcal{P}_2(\mathbb{R}^D)} [\mathcal{F}(\rho) + \frac{1}{2\tau} \mathcal{W}_2^2(\rho^k, \rho)].$$

В диссертации предлагается заменить оптимизацию по распределениям на эквивалентную оптимизацию по выпуклым функциям ψ :

$$\psi_k \leftarrow \arg \min_{\psi \in \text{Conv}} [\mathcal{F}(\nabla \psi \sharp \rho^k) + \frac{1}{\tau} \int_{\mathbb{R}^D} \frac{1}{2} \|x - \nabla \psi(x)\|^2 d\rho^k(x)].$$

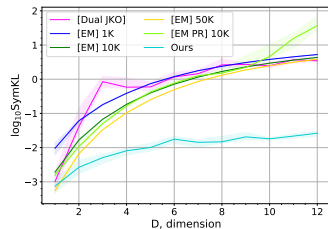
При данном подходе $\rho^k = \nabla \psi_{k-1} \sharp [\nabla \psi_{k-2} \sharp [\dots \nabla \psi_0 \sharp \rho^0]]$.

Для численного осуществления шагов JKO предлагается обучать последовательность выпуклых по входу нейронных сетей $\{\psi_k\}$ и оптимизировать их параметры с помощью стохастического градиентного спуска, используя случайные выборки из ρ^k .

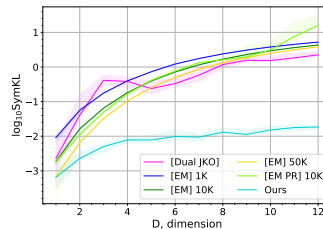


Количественное сравнение в случае процессов Орнштейна—Уленбека

При $\Phi(x) = \frac{1}{2}(x - b)^T A(x - b)$ с $A \succeq 0$ и гауссовским ρ^0 град. поток функ-ла $\mathcal{F}_{\text{FP}}(\rho) = \int_{\mathbb{R}^D} \Phi(x) d\rho(x) + \frac{1}{\beta} \int_{\mathbb{R}^D} \log \frac{d\rho(x)}{dx} d\rho(x)$ аналитически вычислим для всех $t \geq 0$.²⁰



$t = 0.5$



$t = 0.8$

Согласно экспериментальным результатам, предложенный метод превосходит по качеству существующие методы (для сравнения используется метрика SymKL).

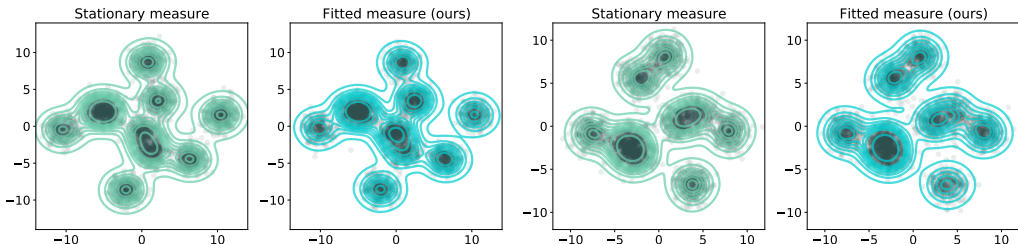
²⁰Pat Vatiwutipong и Nattakorn Phewchean (2019). “Alternative way to derive the distribution of the multivariate Ornstein–Uhlenbeck process”. B: Advances in Difference Equations 276.

Качественное сравнение: сходимость к стационарному распределению

Стартуя из начальной точки ρ^0 , градиентный поток \mathcal{F}_{FP} сходится к²¹

$$\frac{d\rho^*}{dx}(x) = Z^{-1} \exp(-\beta\Phi(x)),$$

где $Z = \int_{\mathbb{R}^D} \exp(-\beta\Phi(x))dx$ – нормировочная константа.

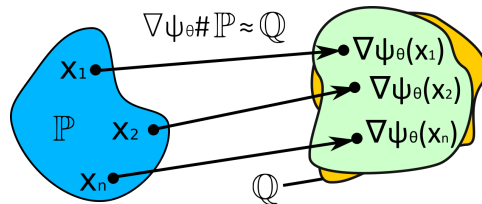


2 главные компоненты стационарного и обученного распределений, $D = 13$ (слева) и $D = 32$ (справа).

²¹Hannes. Risken (1996). The Fokker-Planck Equation: Methods of Solution and Applications (Springer Series in Synergetics). Springer,

Задача 4

Построение эталонных пар для Васерштейн-2 транспорта.

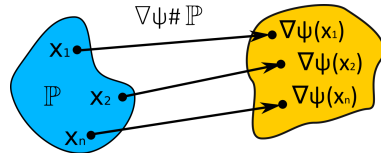


Результат главы

Предложена общая методология построения пар непрерывных распределений с аналитически известными ОТ отображениями для квадратичной стоимости для тестирования параметрических методов ОТ.

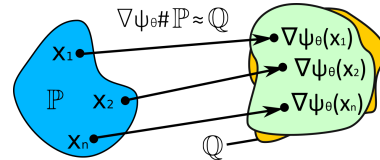
Ключевая предложенная идея построения эталонных пар

Для $\mathbb{P} \in \mathcal{P}_{2,\text{ac}}(\mathbb{R}^D)$ пусть $\nabla\psi\#\mathbb{P}$ будет его образом под действием градиента выпуклой функции $\psi : \mathbb{R}^D \rightarrow \mathbb{R}$.



Тогда $\nabla\psi$ является ОТ отображением между \mathbb{P} и $\nabla\psi\#\mathbb{P}$.

Предлагается приближать ОТ отображение с помощью градиента выпуклой по выходу нейросети $\nabla\psi_\theta$



и затем использовать пару $(\mathbb{P}, \nabla\psi_\theta\#\mathbb{P}) \approx (\mathbb{P}, \mathbb{Q})$ как эталонную с известным ОТ отображением $\nabla\psi_\theta$.

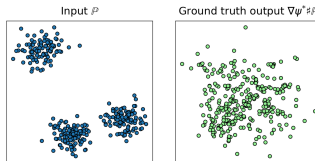
В основе предложенной идеи лежит теорема Бренье²².

²²Yann Brenier (1991). “Polar factorization and monotone rearrangement of vector-valued functions”. In: Communications on pure and applied mathematics 44.4, с. 375–417.

Разработанные эталонные пары вероятностных распределений

Многомерные пары распределений

$$D = 2, 4, 8, \dots, 256$$



Пары распределений в пространстве изображений (на основе Celeba²³)

3 пары, $D = 12288$



²³Ziwei Liu и др. (дек. 2015). “Deep Learning Face Attributes in the Wild”. В: Proceedings of International Conference on Computer Vision (ICCV).

Количественные результаты метода на разработанных эталонных парах

Dim	2	4	8	16	32	64	128	256
[W2] (Ours)	0.1	0.7	2.6	3.3	6.0	7.2	2.0	2.7
[W2:R]	0.2	0.9	4.0	5.3	5.2	7.0	2.0	2.7
[MMv1]	0.2	1.0	1.8	1.4	6.9	8.1	2.2	2.6
[MM]	0.1	0.3	0.9	2.2	4.2	3.2	3.1↑↔	4.1↑↔
[MM:R]	0.1	0.3	0.7	1.9	2.8	4.5	→	→
[MMv2]	0.1	0.68	2.2	3.1	5.3	10.1↑↔	3.2↑↔	2.7↑↔
[MMv2:R]	0.1	0.7	4.4	7.7	5.8	6.8	2.1	2.8
[MM-B]	0.1	0.7	3.1	6.4	12.0	13.9	19.0	22.5
[LS]	5.0	11.6	21.5	31.7	42.1	40.1	46.8	54.7
[L]	14.1	14.9	27.3	41.6	55.3	63.9	63.6	67.4
[QC]	1.5	14.5	28.6	47.2	64.0	75.2	80.5	88.2
[C]	100	100	100	100	100	100	100	100
[ID]	32.7	42.0	58.6	87	121	137	145	153

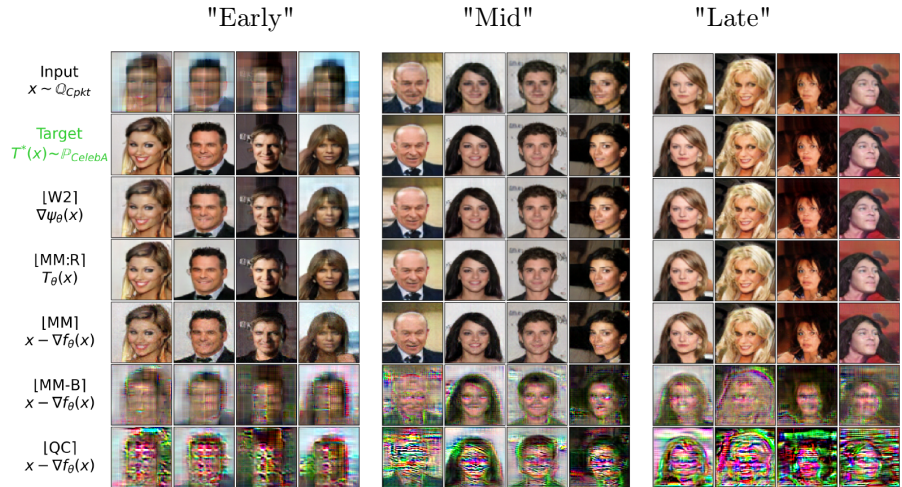
Размерности $D = 2, 2^2, \dots, 2^8$. Оранжевый цвет показывает $\mathcal{L}^2\text{-UVP} > 10\%$.

Красный цвет выделяет значения метрики ниже, чем у простого линейного [L] бейзлайна.

Экспериментальные результаты подтверждают, что

1. Седловые методы [MM] численно нестабильны и могут **расходитьесь** (\rightarrow);
2. Регуляризованный метод [LS] находит **смешенное** решение;
3. Предложенный метод [W2] стабилен и **работает сравнимо/лучше альтернатив**.

Эталонные пары изображений: качественные результаты

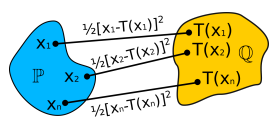


Заключение

Итог: 4 задачи ОТ = 4 решения = 4 положения

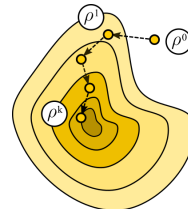
[Задача 1]

Вычисление \mathbb{W}_2 ОТ отображений



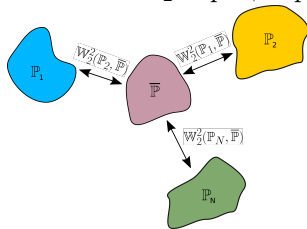
[Задача 3]

Вычисление \mathbb{W}_2 градиентных потоков



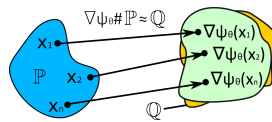
[Задача 2]

Вычисление \mathbb{W}_2 барицентров



[Задача 4]

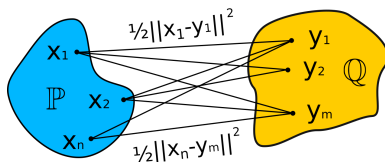
Построение эталонных пар для \mathbb{W}_2



Оптимальный транспорт с квадратичной ценой²⁴ (по Канторовичу)

Квадрат расстояния Васерштейн-2 между $\mathbb{P}, \mathbb{Q} \in \mathcal{P}_2(\mathbb{R}^D)$ определяется как

$$\mathbb{W}_2^2(\mathbb{P}, \mathbb{Q}) \stackrel{\text{def}}{=} \min_{\pi \in \Pi(\mathbb{P}, \mathbb{Q})} \int_{\mathbb{R}^D \times \mathbb{R}^D} \frac{1}{2} \|x - y\|^2 d\pi(x, y),$$



где минимум берется по всем распределениям π на $\mathbb{R}^D \times \mathbb{R}^D$,
чьи проекции на первую и вторую компоненту равны \mathbb{P} и \mathbb{Q} соответственно.

Распределение $\pi^* \in \Pi(\mathbb{P}, \mathbb{Q})$, доставляющее \min , называется ОТ планом.

²⁴Cédric Villani (2008). Optimal transport: old and new. Т. 338. Springer Science & Business Media.

Уравнение непрерывности²⁵ (Секц. 8.1)

Рассмотрим поле скоростей $v : (x, t) \mapsto v_t(x) \in \mathbb{R}^D$, для которого выполнено

$$\int_0^T \int_{\mathbb{R}^D} |v_t(x)| d\mu_t(x) dt < \infty.$$

Последовательность распределений $\{\rho_t\}_{t \in (0, T)}$ является решением
уравнения непрерывности

$$\frac{\partial \rho_t}{\partial t} + \operatorname{div}(\rho_t v_t) = 0,$$

если для любой $h \in C_c^\infty(\mathbb{R}^D)$ выполняется равенство

$$\int_0^T \int_{\mathbb{R}^D} \left(\frac{\partial}{\partial t} h(x, t) + \langle v_t(x), \nabla_x h(x, t) \rangle \right) d\rho_t(x) dt = 0.$$

²⁵Luigi Ambrosio, Nicola Gigli и Giuseppe Savaré (2005). Gradient flows: in metric spaces and in the space of probability measures. Springer Science & Business Media.

Абсолютно непрерывная кривая²⁶

Кривая распределений $\{\rho_t\}_{t \in [0, T]}$ в $(\mathcal{P}_2(\mathbb{R}^D), \mathcal{W}_2)$ называется абсолютно непрерывной, если существует $m \in \mathcal{L}^1([0, T])$ такое, что для любых $0 < s \leq t < T$ выполнено

$$\mathcal{W}_2(\rho_s, \rho_t) \leq \int_s^t m(r) dr.$$

У такой кривой для почти всех $t \in [0, T]$ существует предел

$$\lim_{s \rightarrow t} \frac{\mathcal{W}_2(\rho_t, \rho_s)}{|t - s|} = |\rho'(t)|,$$

который называется метрической производной. Для почти всех t верно $|\rho'(t)| \leq m(t)$.

Если γ - абсолютно непрерывная (и спрямляемая), то $L(\rho, [0, T]) = \int_0^T |\rho'(t)| dt$, где

$$L(\rho, [0, T]) = \sup_{0=s_1 \leq s_2 \leq \dots \leq s_n=T} \sum_{i=1}^{n-1} \mathcal{W}_2(\rho_{s_i}, \rho_{s_{i+1}}) - \text{длина кривой.}$$

²⁶Полагаем $\mathcal{W}_2 = \sqrt{2}\mathbb{W}_2$.

Связь абсолютно непрерывных кривых и уравнения непрерывности

Теорема 8.3.1.²⁷ Пусть $I \subset \mathbb{R}$ - открытый интервал и $\rho_t : I \rightarrow \mathcal{P}_2(\mathbb{R}^D)$ – абсолютно непрерывная кривая. Тогда существует векторное поле $v : (x, t) \mapsto v_t(x)$, для которого

$$v_t \in \mathcal{L}^2(\rho_t) \quad \text{и} \quad \|v_t\|_{\mathcal{L}^2(\rho_t)} = |\rho'_t|(t) \text{ для п.в. } t \in I,$$

и выполняется уравнение непрерывности

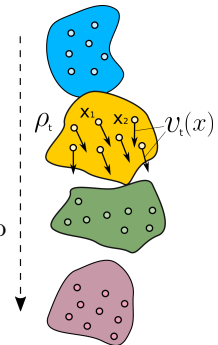
$$\frac{\partial \rho_t}{\partial t} + \operatorname{div}(\rho_t v_t) = 0.$$

При этом v_t называется касательным полем к кривой ρ_t и выполнено

$$v_t \in \overline{\{\nabla \phi : \phi \in C_c^\infty\}}_{\mathcal{L}^2(\rho_t)} = \operatorname{Tan}_{\rho_t} \mathcal{P}_2(\mathbb{R}^D),$$

где последнее называется касательным пространством к ρ_t в $\mathcal{P}_2(\mathbb{R}^D)$.

²⁷Luigi Ambrosio, Nicola Gigli и Giuseppe Savaré (2005). Gradient flows: in metric spaces and in the space of probability measures. Springer Science & Business Media.



Дифференцирование на пространстве распределений²⁸

В Евклидовом пространстве \mathbb{R}^D	В пространстве распределений $(\mathcal{P}_2(\mathbb{R}^D), \mathcal{W}_2)$
$f : \mathbb{R}^D \rightarrow \mathbb{R}$	$\mathcal{F} : \mathcal{P}_2(\mathbb{R}^D) \rightarrow \mathbb{R}$
$x \in \mathbb{R}^D$	$\mu \in \mathcal{P}_{2,\text{ac}}(\mathbb{R}^D)$
$f(y) - f(x) =$ $\langle \xi, y - x \rangle + o(\ y - x\)$	$\mathcal{F}(\nu) - \mathcal{F}(\mu) =$ $\int_{\mathbb{R}^D} \langle \xi(x), T_{\mu \rightarrow \nu}(x) - x \rangle d\mu(x) + o(\mathcal{W}_2(\mu, \nu))$
Производная по Фреше $\xi \in \partial f(x) \subset \mathbb{R}^D$	\mathcal{W}_2 -производная (векторное поле $\mathbb{R}^D \rightarrow \mathbb{R}^D$) $\xi \in \partial_{\mathcal{W}_2} \mathcal{F}(\rho) \subset \text{Tan}_\mu \mathcal{P}_2(\mathbb{R}^D)$

²⁸Для простоты полагаем, что μ абсолютно непрерывно.

Градиентный поток на пространстве распределений²⁹

В Евклидовом пространстве \mathbb{R}^D	В пространстве распределений $(\mathcal{P}_2(\mathbb{R}^D), \mathcal{W}_2)$
$f : \mathbb{R}^D \rightarrow \mathbb{R}$	$\mathcal{F} : \mathcal{P}_2(\mathbb{R}^D) \rightarrow \mathbb{R}$
$x : [0, T] \rightarrow \mathbb{R}^D$	$\rho : [0, T] \rightarrow (\mathcal{P}_2(\mathbb{R}^D), \mathcal{W}_2)$
$\begin{cases} \dot{x}(t) = v_t \\ v_t \in -\partial f(x(t)) \\ x(0) = x^0 \end{cases}$	$\begin{cases} v_t - \text{кас. поле к } \rho_t \\ v_t \in -\partial_{\mathcal{W}_2} \mathcal{F}(\rho_t) \\ \rho_0 = \rho^0 \end{cases}$
$\begin{cases} \dot{x}(t) = f'(x(t)), \\ x(0) = x^0 \end{cases}$	$\begin{cases} \frac{\partial \rho_t}{\partial t} - \operatorname{div}(\rho_t \nabla_x \mathcal{F}'(\rho_t)) = 0, \\ \rho_0 = \rho^0 \end{cases}$

²⁹ В правом столбце используется связь первой вариации и \mathcal{W}_2 -производной: $\partial_{\mathcal{W}_2} \mathcal{F}(\rho) = \nabla_x \mathcal{F}'(\rho)$.